

p-ジクロロベンゼンのラット及びマウスを用いた  
吸入によるがん原性試験報告書

試験番号 ラット/0158 ; マウス/0159

# PHOTOGRAPHS

## P H O T O G R A P H S

- PHOTOGRAPH 1 KIDNEY, NORMAL PAPILLA AND PELVIS  
RAT, MALE, CONTROL, ANIMAL NO. 0158-1007 (H&E, X32)
- PHOTOGRAPH 2 KIDNEY, MINERALIZATION OF PELIVIS AND UROTHELIAL HYPERPLASIA  
RAT, MALE, 300ppm, ANIMAL NO. 0158-1325 (H&E, X32)
- PHOTOGRAPH 3 NASAL CAVITY (LEVEL II, NASAL SEPTUM), NORMAL RESPIRATORY EPITHELIUM  
AND NASAL GLAND  
RAT, FEMALE, CONTROL, ANIMAL NO. 0158-2025 (H&E, X160)
- PHOTOGRAPH 4 NASAL CAVITY (LEVEL II, NASAL SEPTUM)  
EOSINOPHILIC CHANGE OF RESPIRATORY EPITHELIUM AND  
RESPIRATORY METAPLASIA OF NASAL GLAND  
RAT, FEMALE, 300ppm, ANIMAL NO. 0158-2349 (H&E, X160)
- PHOTOGRAPH 5 NASAL CAVITY (LEVEL III, ETHMOTURBINATE), NOMAL OLFACTORY EPITHELIUM  
RAT, FEMALE, CONTROL, ANIMAL NO. 0158-2009 (H&E, X160)
- PHOTOGRAPH 6 NASAL CAVITY (LEVEL III, ETHMOTURBINATE), EOSINOPHILIC CHANGE OF  
OLFACTORY EPITHELIUM  
RAT, FEMALE, 300ppm, ANIMAL NO. 0158-2313 (H&E, X160)
- PHOTOGRAPH 7 LIVER, NODULE  
MOUSE, FEMALE, 300ppm, ANIMAL NO. 0159-2334
- PHOTOGRAPH 8 LIVER, HEPATOCELLULAR ADENOMA  
MOUSE, FEMALE, 300ppm, ANIMAL NO. 0159-2317 (H&E, X16)
- PHOTOGRAPH 9 LIVER, HEPATOCELLULAR CARCINOMA (HEPATOBLASTIC TYPE)  
MOUSE, MALE, 300ppm, ANIMAL NO. 0159-1336 (H&E, X32)
- PHOTOGRAPH 10 LIVER, HEPATOCELLULAR CARCINOMA (ADENOMA AND TRABECULAR TYPE)  
MOUSE, FEMALE, 300ppm, ANIMAL NO. 0159-2334 (H&E, X32)
- PHOTOGRAPH 11 LIVER, HISTIOCYTIC SARCOMA  
MOUSE, MALE, 300ppm, ANIMAL NO. 0159-1328 (H&E, X32)
- PHOTOGRAPH 12 LUNG, BRONCHIOLAR-ALVEOLAR CARCINOMA  
MOUSE, FEMALE, 300ppm, ANIMAL NO. 0159-2308 (H&E, X16)
- PHOTOGRAPH 13 LIVER, NORMAL  
MOUSE, MALE, CONTROL, ANIMAL NO. 0159-1003 (H&E, X32)
- PHOTOGRAPH 14 LIVER, CENTRAL HEPATOCELLULAR HYPERTROPHY  
MOUSE, MALE, 300ppm, ANIMAL NO. 0159-1336 (H&E, X32)
- PHOTOGRAPH 15 TESTIS, NORMAL  
MOUSE, MALE, CONTROL, ANIMAL NO. 0159-1036 (H&E, X32)
- PHOTOGRAPH 16 TESTIS, MINERALIZATION OF ARTERY  
MOUSE, MALE, 300ppm, ANIMAL NO. 0159-1303 (H&E, X32)

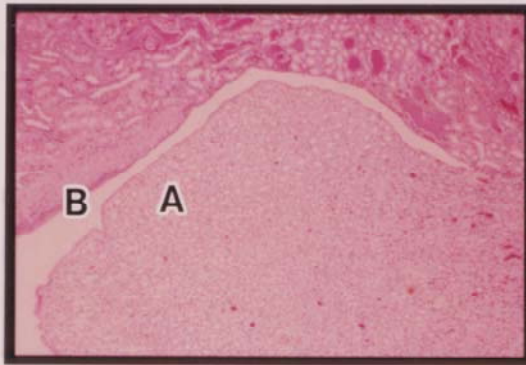


写真 1 腎臓  
正常な腎乳頭(A)と腎盂(B)  
ラット、雄、対照群、動物NO. 0158-1007  
(H&E染色、X32)

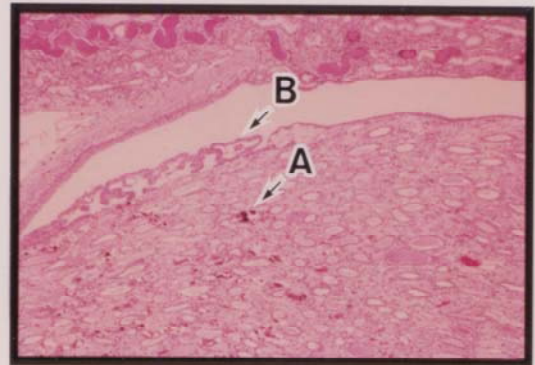


写真 2 腎臓  
腎乳頭の鉛質沈着(A)と尿路上皮の過形成(B)  
ラット、雄、300ppm群、動物NO. 0158-1325  
(H&E染色、X32)

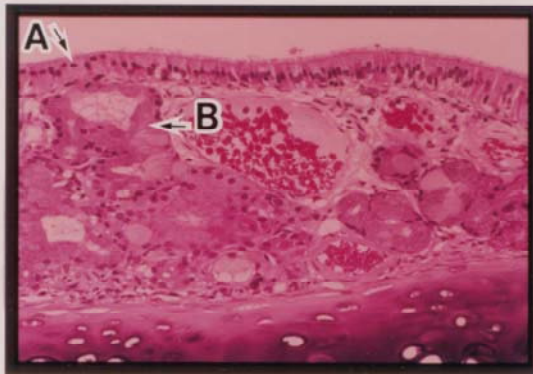


写真 3 鼻腔 (レベル II、鼻中隔)  
正常な呼吸上皮(A)と鼻腺(B)  
ラット、雌、対照群、動物NO. 0158-2025  
(H&E染色、X160)

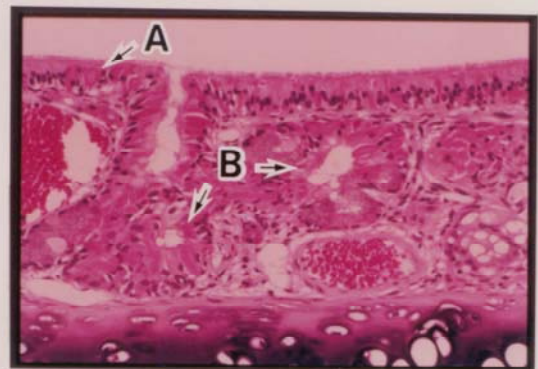


写真 4 鼻腔 (レベル II、鼻中隔)  
呼吸上皮のエオジン好性変化(A)と  
鼻腺の呼吸上皮化生(B)  
ラット、雌、300ppm群、動物NO. 0158-2349  
(H&E染色、X160)



写真 5 鼻腔 (レベル III、篩骨甲介)  
正常な嗅上皮(A)  
ラット、雌、対照群、動物NO. 0158-2009  
(H&E染色、X160)

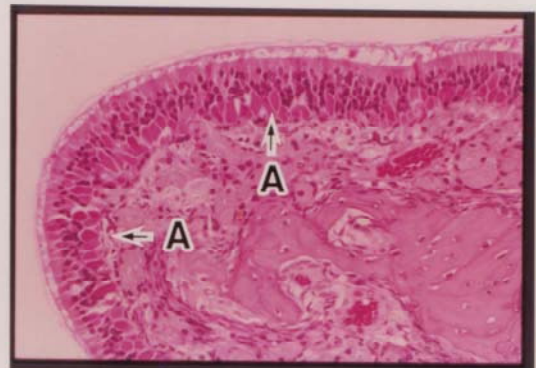


写真 6 鼻腔 (レベル III、篩骨甲介)  
嗅上皮のエオジン好性変化(A)  
ラット、雌、300ppm群、動物NO. 0158-2313  
(H&E染色、X160)

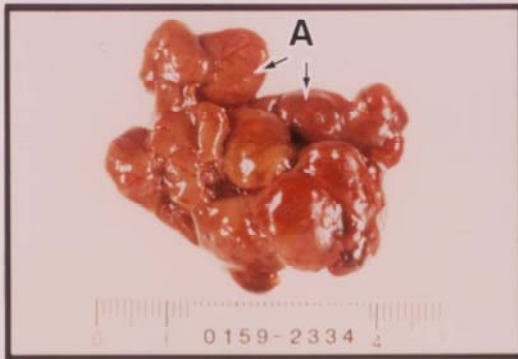


写真7 肝臓  
結節(A)  
マウス、雌、300ppm群、動物NO. 0159-2334

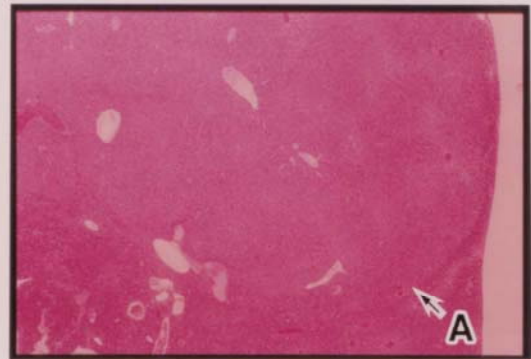


写真8 肝臓  
肝細胞腺腫(A)  
マウス、雌、300ppm群、動物NO. 0159-2317  
(H&E染色、X16)

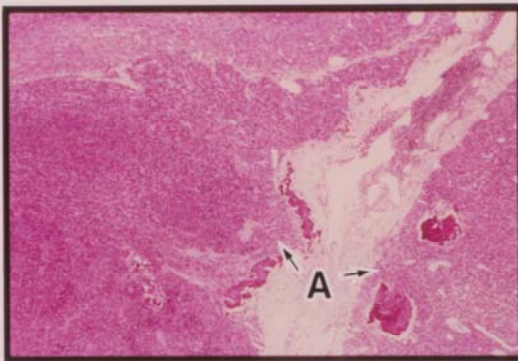


写真9 肝臓  
肝細胞癌(肝芽腫型)(A)  
マウス、雄、300ppm群、動物NO. 0159-1336  
(H&E染色、X32)

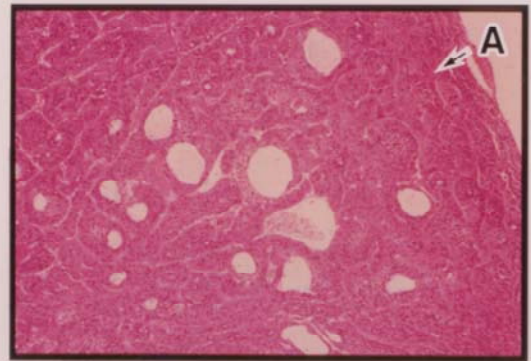


写真10 肝臓  
肝細胞癌(腺様、索状型)(A)  
マウス、雌、300ppm群、動物NO. 0159-2334  
(H&E染色、X32)

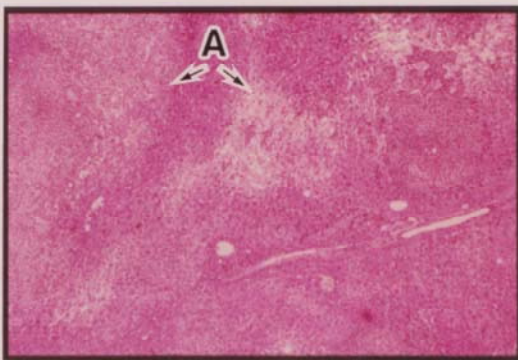


写真11 肝臓  
組織球性肉腫(A)  
マウス、雄、300ppm群、動物NO. 0159-1328  
(H&E染色、X32)

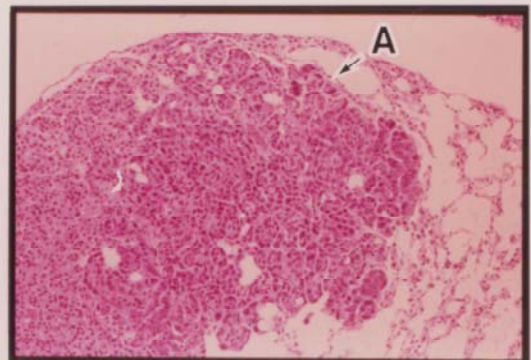


写真12 肺  
細気管支-肺胞上皮癌(A)  
マウス、雌、300ppm群、動物NO. 0159-2308  
(H&E染色、X16)



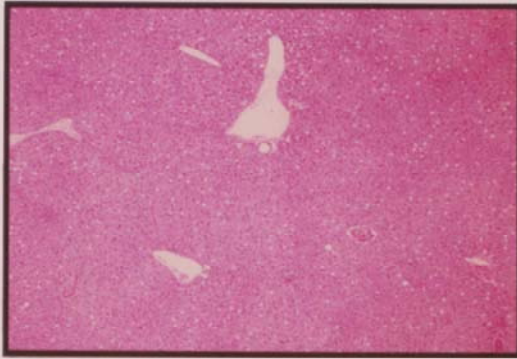


写真13 肝臓  
正常  
マウス、雄、対照群、動物NO. 0159-1003  
(H&E染色、X32)

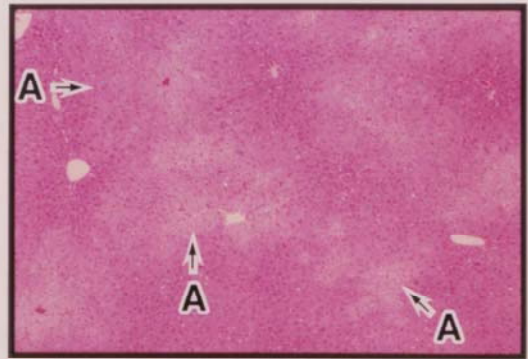


写真14 肝臓  
小葉中心性の肝細胞の肥大(A)  
マウス、雄、300ppm群、動物NO. 0159-1336  
(H&E染色、X32)



写真15 精巣  
正常  
マウス、雄、対照群、動物NO. 0159-1036  
(H&E染色、X32)



写真16 精巣  
血管の鈣質沈着(A)  
マウス、雄、300ppm群、動物NO. 0159-1303  
(H&E染色、X32)